

АКАДЕМИЯ НАУК СССР

---

# КОСМИЧЕСКИЕ ИССЛЕДОВАНИЯ

Том XIX

(ОТДЕЛЬНЫЙ ОТТИСК)

3

---

МОСКВА · 1981

УДК 523.72:523.42

*К. Н. Григорауз, М. Н. Веригин, Т. К. Бреус,  
С. В. Иванова*

**МАЛОЭНЕРГИЧНЫЕ ЭЛЕКТРОНЫ В ОПТИЧЕСКОЙ ТЕНИ  
ВЕНЕРЫ, ОБНАРУЖЕННЫЕ НА СПУТНИКАХ «ВЕНЕРА-9,  
10» – ИСТОЧНИК НОЧНОЙ ИОНОСФЕРЫ. СРАВНЕНИЕ  
С РЕЗУЛЬТАТАМИ СПУТНИКА «ПИОНЕР – ВЕНЕРА»<sup>1</sup>**

Показано, что результаты измерений со спутника «Пионер – Венера» подтверждают выводы работ Грингауза и др., опубликованных в 1976–1977 гг., относящихся к малоэнергичным электропарам в оптической тени Венеры как источникуочной ионосферы планеты и к величине концентрации нейтралов вочной атмосфере на высоте 140 км (отличной от даваемой существовавшими в 1976–1977 гг. моделями). Приведем расчет ионизации вочной атмосфере Венеры с использованием потоков электронов по данным «Венера-9, 10» и данных о нейтральной атмосфере, полученных с «Пионер – Венера».

В 1976 г. при анализе проведенных на спутниках «Венера-9, 10» плазменных измерений авторы работ [3, 4] обратили внимание на то, что на этих спутниках глубоко в оптической тени Венеры всегда и надежно регистрировались весьма изменчивые во времени потоки электронов, а также на то, что обнаруженные потоки электронов могут ионизировать нейтральную атмосферу планеты и обеспечить существование ееочной ионосферы. Опубликованные позже расчеты ударной ионизации электронами атмосферы Венеры [5, 6], выполненные в предположении изотропного рассеяния электронов при упругих и неупругих столкновениях, показали достаточность измеренных потоков электропар для создания очной ионосферы планеты.

В 1977 г. на сессии МАГА в Сиэтле были приведены расчеты ударной ионизации электронами атмосферы Венеры, выполненные в другом крайнем предположении – направление движения электрона, испытавшего столкновение, не изменяется [7]. Эти расчеты, впоследствии опубликованные в работе [8], были проведены с использованием результатов измерений спектров электронных потоков в тех девяти случаях, когда на спутниках «Венера-9, 10» радиозатменным методом измерялся также профиль электронной концентрации  $n_e(h)$  очной ионосферы Венеры. Было показано наличие корреляции между потоками электронов в оптической тени Венеры и электронной концентрацией в максимуме радиозатменного профиля  $n_e(h)$  и на основании этого сделан вывод, что именно обнаруженные на «Венере-9, 10» потоки электронов с энергией в несколько десятков электронвольт ответственны за формирование основного верхнего максимума ионизации [7, 8].

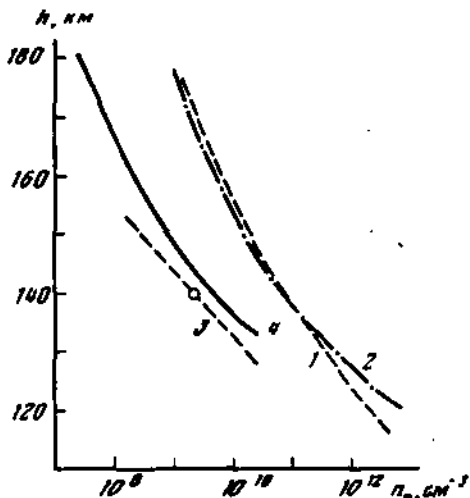
Следует отметить, что во время выполнения упомянутых расчетов прямые измерения состава и концентрации нейтральных частиц  $n_e$  в окрестности максимума ионизации отсутствовали, а в имеющихся моделях

<sup>1</sup> Расширенный вариант доклада на сессии SIV-2 МАГА (Канберра, Австралия, декабрь 1979 г.) [1], опубликованного в виде препринта ИКИ АН СССР [2].

верхней атмосферы  $n_e$ , на этих высотах была слишком высокой, для того чтобы ионизирующие электроны могли достичь высоты максимума ионизации, определенного по данным радиозатменных наблюдений. Так, например, в принятой КОСПАР'ом (Варна, Болгария, 1975 г.) модели атмосферы Венеры [9] и в модели [10], рекомендованной ее авторами в качестве стандартной, на высоте 140 км  $n_e \approx 6 \cdot 10^{10} \text{ см}^{-3}$  (содержание  $\text{CO}_2$  соответственно  $\sim 95$  и  $\sim 60\%$ ). На рис. 1 показаны зависимости  $n_e(h)$  согласно модели нейтральной атмосферы [9] и модели [10] (при зенитном угле Солнца  $\chi = 150^\circ$ ).

Так как авторы плазменных измерений на спутниках «Венера-9, 10» были убеждены в том, что корреляция между измеренными на высоте

Рис. 1. Зависимости от высоты  $h$  концентрации нейтральных частиц  $n_e$  согласно моделям [9] (кривая 1) и [10] (2). Предположенная в работах [7, 8] зависимость  $n_e(h)$  (3) лучше согласуется с результатами проведенных выше прямых измерений  $n_e(h)$  (4) на спутнике «Пионер-Венера».



$\sim 1500$  км потоками электронов  $n_{e_{\max}}$  свидетельствовала о том, что электроны с энергией в несколько десятков электронвольт достигают высоты  $\sim 140$  км и являются основным источником ионизации, то ими был сделан вывод, что истинное значение  $n_e$  на этой высоте в  $\sim 30$  раз меньше, чем величина, принятая в моделях, и составляет  $\sim 2 \cdot 10^9 \text{ см}^{-3}$  [7, 8]. Зависимость  $n_e(h)$ , предложенная в работах [7, 8], показана на рис. 1 отрезком линии 3 с кружком (шкала высот  $H_e \approx 5$  км).

В числе результатов измерений, проведенных в окрестности Венеры на спутнике «Пионер-Венера», имеются данные, относящиеся как к пейтральной, так и к ионизированной частям верхней ночной атмосферы Венеры. Наличие таких данных позволяет проверять правильность выводов, сделанных в предшествующих публикациях авторов [5-8].

По данным измерений, выполненных при помощи установленного на спутнике «Пионер-Венера» квадрупольного масс-спектрометра, оказалось, что на высоте  $\sim 140$  км ( $\chi = 150^\circ$ )  $n_e \approx 5 \cdot 10^9 \text{ см}^{-3}$ , основными составляющими являются  $\text{CO}_2$  ( $\sim 60\%$ ) и  $\text{O}$  ( $\sim 30\%$ ) [11]. На рис. 1 кривая 4 показывает зависимость  $n_e(h)$  по этим данным. Как видно из этого рисунка, результаты прямых измерений  $n_e$  значительно лучше согласуются с зависимостью  $n_e(h)$ , предложенной в работах [7, 8], чем с данными существовавших моделей пейтральной атмосферы. Таким образом, подтвердилась правильность поправок в отношении  $n_e$ , внесенных этими работами в модели нейтральной атмосферы Венеры. Присутствие значительного количества атомарного кислорода на ионосферных высотах, приводящее к тому, что основным ионом в максимуме  $n_e(h)$  является  $\text{O}_2^+$ , не должно повлечь изменения выводов этих работ, так как коэффициенты диссоциативной рекомбинации ионов  $\text{O}_2^+$  и  $\text{CO}_2^+$  близки [8]. Однако с появлением прямых измерений концентрации и состава ночной верхней атмосферы Венеры представляет интерес повторить проведенные ранее расчеты вза-

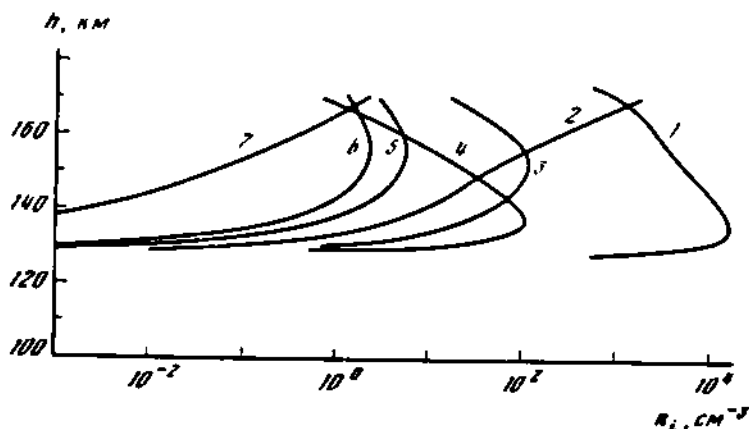


Рис. 2. Результаты расчета высотных профилей ионосферных ионов ( $\chi = 150^\circ$ ), выполненного с использованием измерений спектра ионизирующих электронов 28.X 1975 г. на спутнике «Венера-9».

1 —  $[\text{O}_2^+]$ , 2 —  $[\text{O}^+]$ , 3 —  $[\text{NO}^+]$ , 4 —  $[\text{CO}_2^+]$ , 5 —  $[\text{N}_2^+]$ , 6 —  $[\text{CO}^+]$ , 7 —  $[\text{He}^+]$

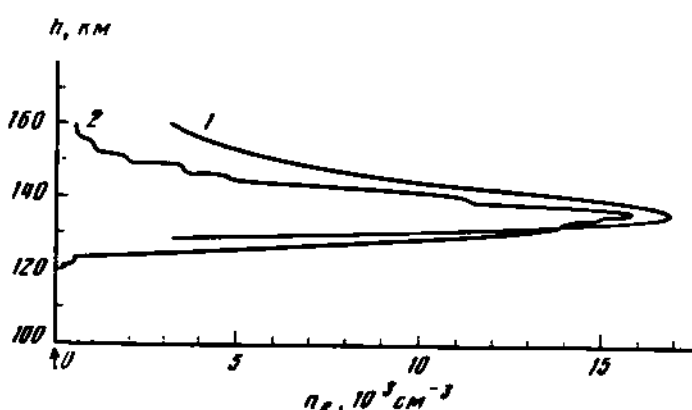


Рис. 3. Сопоставление профиля  $n_i$  (1), рассчитанного по измеренным на спутнике «Венера-10» потокам ионизирующих электронов (2), с радио-спокойным профилем (2)

модействия электронных потоков с уже полученными в эксперименте [11] параметрами реальной атмосферы Венеры.

Для того чтобы учсть влияние других, кроме  $\text{CO}_2$ , составляющих нейтральной атмосферы на изменение с высотой функции распределения  $f$  ионизирующих электронов, мы добавили в правую часть уравнения (2) из работ [7, 8] слагаемые, аналогичные имеющимся и пропорциональные концентрациям  $[\text{O}]$ ,  $[\text{CO}]$ ,  $[\text{N}_2]$  и  $[\text{He}]$ . Скорости ионообразования  $q_{\text{CO}_2}$ ,  $q_{\text{O}}$ ,  $q_{\text{CO}}$ ,  $q_{\text{N}_2}$  и  $q_{\text{He}}$  считались после определения  $f$  по формулам, аналогичным формуле (5) из [7, 8], и не учитывалась возможность образования других, кроме  $\text{CO}_2^+$ ,  $\text{CO}^+$ ,  $\text{N}_2^+$ , ионов при ударной ионизации молекул  $\text{CO}_2$ ,  $\text{CO}$  и  $\text{N}_2$ . Входящие в эти уравнения сечения ионизации и возбуждения нейтральных составляющих рассчитывались по данным статьи [12]. Концентрация ионосферных ионов определялась с учетом приведенных в таблице скоростей образования и потерь ионов, которая основывается на данных работы [13].

Результаты расчета высотного профиля каждого из перечисленных в таблице ионов приведены на рис. 2, а результаты расчета  $n_i(h)$ -профиля (сумма концентраций ионов) показаны плавной кривой (кривая 1) на рис. 3. Вычисления были выполнены с использованием результатов измерения спектра ионизирующих электронов на спутнике «Венера-9».

28.X.1975 г. ( $h \approx 1700$  км,  $\chi \approx 142^\circ$ ). Кривая 2 на рис. 3 представляет результаты определения  $n_e(h)$  по данным бывшего на  $\sim 11$  мин позже радиозатмения спутника ( $\chi \approx 150^\circ$ ) [14]. Как видно из этого рисунка, профиль  $n_e(h)$ , рассчитанный по измеренным потокам электронов с учетом параметров реальной ночной атмосферы Венеры (а не их модельных значений), согласуется с радиозатмеченым профилем по высоте максимума  $h_{\max}$ , значениям  $n_{e\max}$  и ширине на уровне  $n_{e\max}/2$ . Таким образом, результаты прямых измерений  $n_e$  в атмосфере Венеры подтверждают представление об электронном источнике ионизации в ночной ионосфере Венеры.

Начиная с 1978 г. потоки электронов в качестве источника ионизации ночной атмосферы Венеры обсуждались в ряде работ [15–20] и признаны возможным источником. Как конкурирующий механизм ионизации

Скорости образования и потерь ионов, использованные при расчетах в окрестности максимума  $n_e$

Ион	Скорость образования, $\text{см}^{-3} \cdot \text{с}^{-1}$	Скорость потерь, $\text{см}^{-3} \cdot \text{с}^{-1}$
$O_3^+$	$9,4 \cdot 10^{-10} [O^+] [CO_2]$ $1,56 \cdot 10^{-11} [CO_3^+] [O]$	$2,2 \cdot 10^{-11} [O_3^+] [\epsilon]$
$O^+$	$1,4 \cdot 10^{-10} [CO^+] [O]$ $9,6 \cdot 10^{-11} [CO_3^+] [O]$	$9,4 \cdot 10^{-10} [O^+] CO_2$
$NO^+$	$1,34 \cdot 10^{-10} [N_2^+] [O]$	$4,5 \cdot 10^{-11} [NO^+] [\epsilon]$
$CO_2^+$	$10^{-10} [CO^+] [CO]$ $7,7 \cdot 10^{-11} [N_2^+] [CO_2]$	$2,6 \cdot 10^{-10} [CO_2^+] [O]$
$N_2^+$	$9_{N_2^+}$	$7,7 \cdot 10^{-10} [N_2^+] [CO]$ $1,34 \cdot 10^{-10} [N_2^+] [O]$
$CO^+$	$9_{CO^+}$	$10^{-9} [CO^+] [CO]$ $1,4 \cdot 10^{-10} [CO^+] [O]$
$He^+$	$9_{He^+}$	$1,1 \cdot 10^{-9} [He^+] [CO_2]$ $1,6 \cdot 10^{-9} [He^+] [N_2]$ $1,7 \cdot 10^{-9} [He^+] [CO]$

рассматривался перенос ионов  $O^+$  из дневной ионосферы, их последующая диффузия вниз и ионно-молекулярная реакция с  $CO_2$  [17, 18, 20, 21]. Однако этот источник приводит к образованию в 2–3 раза более широкого профиля  $n_e(h)$  на уровне  $n_{e\max}/2$  по сравнению с профилем, образовавшимся в результате ионизации электронами (см. рис. 4 в работе [18]). Более широкий диффузионный профиль  $n_e(h)$  имеет максимум на высоте  $h_{\max}$ , определяющийся из условия равенства характерного времени диффузии  $\tau_p = H_n^3/D$  ионов  $O^+$  и характерного времени реакции  $O^+ + CO_2 \rightarrow O_2^+ + CO$   $\tau_{ch} = (k[CO_2])^{-1}$ ,  $k = 9,4 \cdot 10^{-10} \text{ см}^{-3} \cdot \text{с}^{-1}$ . При коэффициенте диффузии  $D \approx 10^9/n_e \text{ см}^2 \cdot \text{с}^{-1}$  [22] это условие приводит к  $h_{\max} \approx 155$  км ( $n_e(h_{\max}) \approx 3 \cdot 10^6 \text{ см}^{-3}$ ). Таким образом, вклад ионов  $O^+$ , перенесенных из дневной ионосферы, по-видимому, может быть существенен только в формировании части  $n_e(h)$ -профиля над максимумом ионизации ночной ионосферы Венеры.

Основанием для критического отношения к электронам, как к источнику ионизации ночной атмосферы Венеры, служило также отсутствие наблюдений свечения ночной атмосферы [20, 23]. Однако, как было показано в работах [16, 24], оценки свечения с  $\lambda = 5577 \text{ Å}$  в [23] недостаточно надежны. И хотя авторы работы [25], вначале приписывавшие все свечение  $\sim 6 \text{ kR}$  в окрестности  $\lambda = 2068 \text{ Å}$  полосе  $(0, 0)$  СО Камерона (откуда следовали оценки потока энергии, высывающейся в ночную атмосферу

ру  $\sim 0.1$  эрг·см $^{-2} \cdot$ с $^{-1}$ ), впоследствии изменили точку зрения [26], по оставленный ими в этой работе верхний предел интенсивности получения СО в полосе Камерона все еще достаточно велик ( $\leq 4$  кР) и, по-видимому, не противоречит предположению об электронном источнике ионизации. (Для более надежного заключения следует подождать опубликования результатов УФ-спектроскопии со спутника «Пионер-Венера» в диапазоне 2800+3400 А.)

Решающим аргументом в пользу того, что ионосфера в окрестности верхнего максимума  $\lambda$ , создается в результате ударной ионизации атмосферы электронами, являются, с нашей точки зрения, измерения потоков ионизирующих электронов, выполненные непосредственно в ночной ионосфере Венеры [19] и показавшие, что эти электроны действительно достигают ионосферных высот. Согласно данным этой работы, в ночной ионосфере величина потока электронов с энергиями 50÷250 эВ составляет  $\sim 5 \cdot 10^7$  см $^{-2} \cdot$ с $^{-1}$ , что вполне достаточно для ее создания. Если эти измерения надежны, то выдвинтое в работах [3-8] представление о малоэнергичных электронах как источнике ионизации в ночной ионосфере следует считать доказанным.

Остановимся в заключение на происхождении электронов, создающих ночную ионосферу. Энергия, приносимая ими в ночную атмосферу, несомненно происходит от солнечного ветра, однако путь передачи этой энергии может быть достаточно длинным и не вполне ясен. Как известно, за Венерой существует плазменно-магнитный хвост, обнаруженный по данным измерений [27] электронной компоненты плазмы [28] и магнитного поля [29] и обладающий многими атрибутами магнитного хвоста Земли. Магнитное поле в плазменно-магнитном хвосте Венеры характеризуется наличием двух связок магнитных силовых линий, разделенных слоем, где плотность энергии магнитного поля минимальна. В окрестности этого слоя обнаруживаются потоки энергичных ионов — плазменный слой, в котором регистрировались ионы с энергией 2÷4 кэВ [27, 28]. Физические процессы, приводящие к разогреву ионов в плазменном слое плазменно-магнитного хвоста Венеры, воздействуют и на электроны, увеличивая их энергию. Поэтому электроны, высыпающиеся в ночную атмосферу Венеры из ее плазменно-магнитного хвоста, по-видимому, не являются непосредственно электронами солнечного ветра.

Энергичные ионы плазменного слоя, вторгаясь в атмосферу Венеры, также будут производить ее ионизацию. Этот источник ионизации [27] обладает необходимым свойством изменчивости, эффективен на более низких высотах, по сравнению с ионизацией электронами, и может быть предложен в качестве источника, ответственного за формирование спорадического нижнего максимума  $\lambda$ . Измерения направленных к Венере потоков ионов плазменного слоя на спутниках «Венера-9, 10» не проводились. Потоки же ионов в направлении от Венеры составляют 0,5÷5% потока ионов в солнечном ветре (см., например, рис. 8, 9, в работе [28]) и если потоки ионов в плазменном слое в основном изотропны, то (согласно оценкам ионизации, производимой протонами в атмосфере Венеры [22, 30]) следует ожидать, что создаваемая этими потоками ионизация окажется сравнимой с ионизацией, наблюдавшейся в нижнем максимуме ночной ионосферы Венеры.

#### ЛИТЕРАТУРА

1. Gringauz K. I., Verigin M. I., Breus T. K. Low energy electrons revealed by Venus-9, 10 satellites in the shadow — the source of the planetary nocturnal ionosphere: comparison with Pioneer — Venus results.— In: Program and abstracts XVII IUGG General Assembly Canberra, 1979 / Ed. by Fukushima N. IUGG Publication office. Paris, France, p. 325.
2. Gringauz K. I., Verigin M. I., Breus T. K. Low — energetic electrons in the Venus optical umbra detected by the Venera-9 and -10 — the source of the night ionosphere. Comparison with the Pioneer — Venus satellite measurements.— Preprint №-534, Space Research Institute. Acad. Sci. USSR, Moscow, 1979.

3. Грингауз К. Н., Берзуких В. В. и др. Предварительные результаты измерений плазмы при помощи широкоугольных приборов на спутниках «Венера-9, 10». — Космич. исслед., 1976, т. 14, № 6, с. 839.
4. Gringauz K. I., Bezrukikh V. V. et al. Plasma observations near Venus on board the Venera-9 and -10 satellites by means of wide-angle plasma detectors.— In: Physics of solar planetary environments / Ed. by Williams D. J. AGU, Boulder, Colorado, 1976, p. 918.
5. Gringauz K., Verigin M., Breus T., Gombosi T. Electron fluxes measured on board Venera-9 and -10 in the optical umbra of Venus: main ionization source in Venus' nighttime ionosphere.— Preprint Пр-303. Space Research Institute, Acad. Sci. USSR, Moscow, 1978.
6. Грингауз К. Н., Веригин М. Н., Бреус Т. К., Гомбози Т. Электронные потоки, измеренные в оптической тени Венеры на спутниках «Венера-9, 10» — основной источник ионизации в почной ионосфере Венеры.— ДАН СССР, 1977, т. 232, № 5, с. 1039.
7. Gringauz K. I., Verigin M. I., Breus T. K., Gombosi T. The interaction of the Solar Wind electrons in the optical umbra of Venus with the planetary atmosphere — the origin of the nighttime ionosphere.— Preprint D-250. Space Research Institute, Acad. Sci. USSR, Moscow, 1977.
8. Gringauz K. I., Verigin M. I., Breus T. K., Gombosi T. The interaction of electrons in the optical umbra of Venus with the planetary atmosphere — the origin of the nighttime ionosphere.— J. Geophys. Res., 1979, v. 84, p. 2123.
9. Марое М. А., Рябов О. Л. Модель атмосферы Венеры.— Препринт № 112, ИИМ АН СССР, М., 1974.
10. Lickinson R. E., Ridley E. C. Venus mesosphere and thermosphere temperature. II. Day-night variations.— Icarus, 1977, v. 30, p. 163.
11. Nieman H. B., Hartle R. E. et al. Venus upper atmosphere neutral gas composition: First observations of the neutral variations.— Science, 1979, v. 205, p. 54.
12. Jackman C. H., Garvey R. H., Green A. E. S. Elektron impact on atmospheric fases. I. Updated cross sections.— J. Geophys. Res., 1977, v. 82, p. 5081.
13. Albritton D. L. 10n-noural reactions ratio constants measured in flow reactors through 1977.— Atomic Data and Nuclear Data Tables, 1978, v. 22, p. 1.
14. Александров Ю. Н., Васильев М. Б. и др. Ночная ионосфера Венеры по результатам двухчастотного радиопросвещения при помощи спутников «Венера-9, 10». — Космич. исслед., 1976, т. 14, № 6, с. 824.
15. Chen R. H., Nagy A. F. A comprehensive model of the Venus ionosphere.— J. Geophys. Res., 1978, v. 83, p. 1133.
16. Gravens T. E., Nagy A. F., Chen R. H., Stewart A. I. The ionosphere and airflow of Venus: prospects for Pioneer-Venus.— Geophys. Res. Lett., 1978, v. 5, p. 613.
17. Kitore A. J., Patel I. R. et al. The nightside ionosphere of Venus from Pioneer-Venus radio occultation.— Science, 1979, v. 205, p. 99.
18. Brace L. H., Theis R. F. et al. Empirical models of the electron temperature and density in the nightside Venus ionosphere.— Science, 1979, v. 205, p. 102.
19. Intriligator D. S., Collard H. R. et al. Initial observations of the Pioneer-Venus orbiter plasma analyzer experiment. II.— Science, 1979, v. 205, p. 116.
20. Jonson F. S., Hanson W. B. A new concept for the day time magnetosphere of Venus.— Geophys. Res. Lett., 1979, v. 6, p. 581.
21. Taylor H. A., Brinton H. C. et al. The ionosphere of Venus: first observations of day-night variations of the ion composition.— Science, 1979, v. 205, p. 98.
22. Баяр З. Физика планетных ионосфер. М.: Мир, 1976.
23. Krasnopol'sky V. A. Nightside ionosphere of Venus.— Planet. Space Sci., 1979, v. 27, p. 1403.
24. Breus T. K. Venus: review of present understanding of solar wind interaction.— Preprint D-258. Space Research Institute, Acad. Sci. USSR, Moscow, 1978.
25. Stewart A. I., Anderson D. E., Jr., Esposito L. W., Barth C. A. Ultraviolet spectroscopy of Venus: initial results from Pioneer-Venus orbiter.— Science, 1979, v. 203, p. 777.
26. Stewart A. I., Barth C. A. The ultraviolet night airglow of Venus.— Science, 1979, v. 205, p. 59.
27. Веригин М. Н. Исследование взаимодействия потоков солнечной плазмы с Венерой при помощи спутников «Венера-9, 10» (по данным широкоугольных плазменных анализаторов). Дис. на соискание ученой степени кандидата физ.-мат. наук. М.: ИИМ АН СССР, 1978. 227 с.
28. Verigin M. I., Gringauz K. I. et al. Plasma near Venus from the Venera-9 and -10 wide angle analyzer data.— Preprint D-251. Space Research Institute, Acad. Sci. USSR, Moscow, 1977; J. Geophys. Res., 1978, v. 83, p. 3721.
29. Долгинов П. Ш., Жуков Л. Н., Шарова В. А., Ерошенко Е. Г. Магнитосфера планеты Венера.— Препринт № 19/1931. М.: ИЗМИРАН СССР, 1977.
30. McElroy M. B., Strobel D. F. Models for nighttime Venus ionosphere.— J. Geophys. Res., 1969, v. 74, p. 1118.

Поступила в редакцию  
20.VIII.1980